

## برآورد پارامتر شدت زلزله در منطقه گسل با استفاده از داده‌های حرارتی سنجش از دور

آرش کریمی زارچی<sup>\*</sup> - دانشکده مهندسی نقشه‌برداری و اطلاعات مکانی، پردیس دانشکده‌های فنی، دانشگاه تهران  
محمد رضا سراجیان<sup>\*</sup> - دانشکده مهندسی نقشه‌برداری و اطلاعات مکانی، پردیس دانشکده‌های فنی، دانشگاه تهران

دریافت: ۱۴۰۰/۰۳/۲۶ پذیرش: ۱۴۰۰/۰۲/۲۱

### چکیده

زلزله یکی از پیش‌بینی‌ناپذیرترین و خطرناک‌ترین پدیده‌های طبیعی است که هرساله خسارات مالی و جانی فراوانی را باعث می‌شود. هنگام وقوع زلزله تنש‌ها و فعالیت‌های محدوده گسل افزایش می‌یابد و باعث تغییرات دمایی محسوسی نسبت به دمای نormal می‌شود. این تغییرات دمایی خود را به صورت بی‌هنگاری‌هایی در مکان یا زمان نشان می‌دهند. در این تحقیق با استفاده از محصولات حرارتی سنجنده مادیس و شبیه‌فایل گسل‌های ایران، هفت زلزله با شدت بیشتر از شش ریشت، که در ایران رخ داده، بررسی شده است. در این پژوهش با استفاده از تشکیل تصویر زمان-دما-فاصله در گسل مریبوط به زلزله به عنوان ورودی دو روش تشخیص بی‌هنگاری حرارتی رخ داده بررسی شده است. در نهایت، با استفاده از نتایج حاصل از بهترین روش تشخیص بی‌هنگاری پارامتر شدت با استفاده از شبکه عصبی مصنوعی برآورد شده است. نتایج الگوریتم‌های تشخیص ناهنجاری نشان می‌دهد هرچند هر دو روش تشخیص بی‌هنگاری حرارتی بی‌هنگاری مریبوط به هر زلزله در شعاع نزدیک به گسل شناسایی کرده‌اند روش چارکی (Interquartile) نسبت به روش میانگین-انحراف‌معیار نتایج مناسب‌تری را برای ورودی الگوریتم شبکه عصبی فراهم می‌کند. نتایج در مدل‌سازی نیز نشان می‌دهد پارامتر شدت زلزله، که با استفاده از شبکه عصبی مصنوعی بررسی شد، دقت کلی ۷۳٪ را داشته است. ذکر این نکته لازم است که پیش‌نشانگر تغییرات دمای سطح و بی‌هنگاری‌های حرارتی به تنهایی نمی‌تواند برای بررسی کامل پارامترهای زلزله کافی و دقت لازم را برای تحییل زلزله داشته باشد. ولی با توجه به حجم پایین داده‌های حرارتی و سادگی کار با آن‌ها، توصیه می‌شود از آن‌ها برای بررسی‌های ابتدایی و آغازین زمین‌لرزه استفاده شود و در صورت تأیید نسبی آن برای تحلیل‌های بیشتر، از روش‌ها و پیش‌نشانگرهای دیگر، که در آن‌ها اعمال الگوریتم‌ها و پردازش‌های سنتی و پیچیده نیاز است، استفاده شود.

وازگان کلیدی: پیش‌نشانگر زلزله، گسل فعال، مدل‌سازی شبکه عصبی مصنوعی، ناهنجاری حرارتی.

### مقدمه

زمین‌لرزه لرزش و جنبش زمین است که به علت آزادشدن سریع انرژی ناشی از گسیختگی در گسل‌های پوسته زمین به صورت ناگهانی و در زمان بسیار کوتاهی روی می‌دهد (جلر و همکاران، ۱۹۹۷؛ صراف و همکاران، ۲۰۰۹). به بیانی دیگر، زمین‌لرزه نتیجه رهایی ناگهانی انرژی از داخل پوسته زمین است که به ایجاد امواج ارتعاشی در زمین منجر می‌شود. زمین‌لرزه‌ها ناشی از افزایش فشار استراتئیک‌اند و از الگوی خاصی برای مدل‌سازی احتمال وقوع آن‌ها در آینده پیروی نمی‌کنند (کنسول و همکاران، ۲۰۰۲). این امر آن‌ها را به یکی از پیش‌بینی‌ناپذیرترین و همچنین یکی از خطرناک‌ترین پدیده‌های طبیعی تبدیل کرده است (مارانو و همکاران، ۲۰۱۰). با توجه به اینکه کشور ایران بر روی کمربند لرزه‌ای فعال آلپ هیمالیا قرار گرفته و آن را جزو مناطق زلزله‌خیز دنیا کرده است، بررسی این بحران طبیعی در ایران از اهمیت بسیار بالایی برخوردار است.

بسیاری از تحقیقات نشان می‌دهد پدیده زلزله ارتباط بسیا زیادی با تغییر شکل زمین، افزایش دمای سطح زمین، گازها و آئروسل‌ها، و اختلالات الکترومناطقی‌سی در جو دارد و این امکان را به محققان می‌دهد که این پدیده را از جنبه‌های مختلف بررسی کنند (وایس، ۱۹۹۱). تکنولوژی سنجش از دور در باند حرارتی امکان قابل اتكایی برای پایش پدیده زلزله در اختیار محققان قرار می‌دهد و داده‌های مادون قرمز حرارتی منبع داده‌ای بسیار مهم و با قابلیت‌های بالا هست. سنجنده AVHRR که بر روی ماهواره NOAA نصب شده، سنجنده MODIS که بر روی دو ماهواره Terra و Aqua نصب شده، سنجنده ASTER که بر روی ماهواره Terra نصب شده، و سنجنده‌های ETM+ و TIRS که بر روی ماهواره‌های Landsat8 و Landsat7 نصب شده‌اند از جمله سنجنده‌هایی هستند که در تحقیقات مختلف از آن‌ها برای بررسی پدیده زلزله استفاده می‌شود.

افزایش غیرطبیعی تابش مادون قرمز حرارتی (TIR) از سطح زمین در نزدیکی زمان زلزله که اغلب توسط سنجنده‌های نصب شده روی ماهواره قابل اندازه‌گیری است می‌تواند بی‌هنجری حرارتی نامیده شود (فروند و همکاران، ۲۰۰۵). عوامل به وجود آور نده این ناهنجاری حرارتی به پنج بخش اصلی تقسیم می‌شود: مکانیزم گاززدایی زمین؛ بی‌هنجری آب‌های زیرزمینی؛ گرمایش به وجود آمده بر اثر اصطکاک؛ تراکنش‌های لرزه‌ای یونسفری؛ و مکانیزم واکنش جایه‌جایی اکسیژن حفره‌پی (P-Hole). هر یک از این عوامل به صورت مستقیم یا با افزایش دمای اتمسفر در نزدیکی سطح زمین باعث افزایش دمای سطح زمین می‌شوند.

اولین مطالعات انجام شده مربوط به زمین‌لرزه از طریق سنجش از دور حرارتی به اواخر دهه هشتاد برمی‌گردد. گورنی و همکاران در ۱۹۸۸ و ۱۹۹۷ برای اولین بار پیشنهاد دادند که بی‌هنجری‌های حرارتی در باندهای مادون قرمز حرارتی می‌تواند اطلاعات مفیدی درباره فعالیت‌های لرزه‌ای زمین در دسترس قرار دهد (کیانگ و همکاران، ۱۹۹۷). در سال ۱۹۹۹ کیانگ و همکاران چندین زلزله را بررسی کردند. نتایج آن‌ها نشان داد که در چنین شرایطی دمای هوا کاهش می‌یابد و زمین‌لرزه بعد از یک دوره آرام رخ می‌دهد. همچنین، ممکن است افت دما در زیر دمای معمولی منطقه در حوالی دوره زلزله اتفاق افتد و متعاقباً به حالت عادی برگردد؛ به این معنا که دما در نزدیکی زمان زلزله کاهش یابد و مجددأ به حالت عادی بازگردد (کیانگ و همکاران، ۱۹۹۹). روش محاسبه و تشخیص بی‌هنجری RAT<sup>۱</sup> برای اولین بار توسط تراکم‌تولی در ۱۹۹۸ برای بررسی روابط احتمالی بین وقوع زمین‌لرزه و نوسانات مکان-زمان تابش مادون قرمز حرارتی ساطع شده از زمین برای زلزله Irpinia در ایتالیا در ۳۳ نوامبر ۱۹۸۰ بهشدت ۶/۹ RST<sup>۲</sup> برای سایر ماهواره‌ها مطرح شد مشاهده از سنجنده AVHRR پیشنهاد شد و متعاقباً روش تعمیم‌یافته آن با نام ۶/۶ و ۶/۴ RST<sup>۳</sup> برای صراف و همکاران، ۱۹۹۸). صراف و همکاران (۲۰۰۸) زلزله‌های بم و زرند را که بهتر تبی باشدت ۵ تا ۱۰ درجه سانتی‌گراد شش روز قبل از زلزله قابل مشاهده بوده است. مشکل بزرگی که در بسیاری از تحقیقاتی که تا آن زمان انجام شده بود عدم محاسبه پارامترهای آماری مربوط به بی‌هنجری‌ها بود و همه این بی‌هنجری‌ها به صورت بصری نشان داده شده بود (صرف و همکاران، ۲۰۰۸).

در تحقیقات ذکر شده از داده‌های سنجنده AVHRR استفاده شده است، ولی با شروع فعالیت سنجنده MODIS با قدرت تفکیک مکانی و طیفی بهتر اغلب محققان داده‌ها و محصولات این سنجنده را جای‌گزین داده‌های AVHRR کردند و برای انجام دادن تحقیقات بعدی در این زمینه استفاده کردند. اوزونوف و فروند (۲۰۰۴) از جمله اولین محققانی بودند که از محصول دمای سطح زمین سنجنده MODIS برای بررسی پرتو مادون قرمز ساطع شده از سطح زمین در نزدیکی زمان زلزله استفاده کردند. زلزله‌ای که آن‌ها بررسی کردند از جمله مخرب‌ترین زلزله‌های اتفاق افتاده در آن دوره

1. Robust AVHRR Technique  
2. Robust Satellite Technique

با شدت ۷,۷ ریشتر واقع در هند در ۲۶ زانویه سال ۲۰۰۱ بود (اوزونوف و فرونده، ۲۰۰۴). نتایج تحقیقات ایشان نشان داد ناهنجاری حرارتی با ۳ تا ۴ درجه سانتی گراد در فاصله زمانی پنج روز قبل از زمان زلزله قابل مشاهده است. ذکر این نکته لازم است که صراف و چودهوری با استفاده از داده‌های سنجنده AVHRR همین زلزله را بررسی کردند. نتایج تحقیقات آن‌ها نشان داد ناهنجاری حرارتی ۵ تا ۷ درجه سانتی گراد در فاصله زمانی ۱۲ روز قبل از زمان زلزله قابل مشاهده بوده است. دلیل این تفاوت را می‌توان به تفاوت در روش‌های مورد استفاده در هر تحقیق نسبت داد. در سال‌های ۲۰۰۶ تا ۲۰۰۸ تحقیقات متعددی در باب این موضوع صورت گرفت و بسیاری از زلزله‌های رخداده تا آن زمان بررسی شدند. ولی این موضوع که تغییرات دمای به وجود آمده از عواملی به غیر از عامل لرزه مانند دلایل تغییرات فصلی است از داده‌ها حذف نشده بود. همچنین، اتكای صرف به نتایج بصری و عدم محاسبه پارامترهای آماری این ناهنجاری‌های حرارتی دقت این تحقیقات را پایین می‌آورد (صرف و همکاران، ۲۰۰۸).

آخوندزاده و سراجیان در ۲۰۱۱ با استفاده از روش‌های تشخیص بی‌هنجاری میانگین و انحراف از معیار، چارکی، تبدیل موجک و فیلتر کالمن زلزله‌های بزرگ ایران را بررسی کردند (آخوندزاده، ۲۰۱۲). همچنین، آخوندزاده در ۲۰۱۴ با استفاده از دو روش شبکه عصبی مصنوعی و بهینه‌سازی ذرات روی زلزله سراوان با شدت ۷/۷ که در ۱۶ آوریل ۲۰۱۳ رخ داد مطالعات خود را ادامه داد. از روش بهینه‌سازی ذرات برای حل مشکلات بهینه‌سازی در سطح گستردۀ استفاده می‌شود؛ در حالی که روش شبکه عصبی مصنوعی بسته به وضعیت داده‌ها در نقاط کمینه محلی می‌تواند دچار خطا شود. آخوندزاده با استفاده از روش بهینه‌سازی ذرات نقاط ضعف شبکه عصبی مصنوعی را پوشش داد و با ترکیب این دو روش راه حلی مناسب برای تشخیص بی‌هنجاری حرارتی در زمان زلزله ارائه داد (آخوندزاده، ۲۰۱۲؛ آخوندزاده، ۲۰۱۴).

## مواد و روش‌ها

### منطقه مورد مطالعه

در این تحقیق هفت زلزله با شدت بیشتر از شش ریشتر، که در ایران رخداده، بررسی شده است. ایران کشوری است در جنوب غربی آسیا و در منطقه خاورمیانه با ۱۶۴۸۱۹۵ کیلومتر مربع وسعت در ۲۵ تا ۴۵ درجه عرض شمالی و ۴۳ تا ۶۳ درجه طول شرقی واقع شده است. کشور ایران بر روی کمرنگ لرزه‌های فعال آلپ هیمالیا قرار گرفته و جزو مناطق زلزله‌خیز دنیا محسوب می‌شود. در جدول ۱ نام زلزله‌ها و پارامترهای مربوط به هر یک ارائه شده است.

جدول ۱. زلزله‌های مورد بررسی و پارامترهای مرتبط به آن‌ها

شدت	زمان	تاریخ	مختصات مرکز زلزله	نام شهر
۷,۳	۲۱:۴۸	۱۳۹۶ آبان ۲۱	34.81 N 45.83 E	ازگله
۶,۲	۰۶:۳۸	۱۳۹۲ اردیبهشت ۲۱	26.52 N 57.76 E	گوهران
۷,۸	۱۵:۱۴	۱۳۹۲ فوریه ۲۷	27.11 N 62.05 E	سراوان
۶,۳	۱۶:۲۲	۱۳۹۲ فوریه ۲۰	28.48 N 51.58 E	شنبه
۶,۵	۰۱:۴۲	۱۳۸۹ آذر ۲۹	28.49 N 59.12 E	فهرج
۶,۱	۰۵:۳۷	۱۳۸۵ فوریه ۱۱	34.57 N 48.79 E	بروجرد
۶,۳	۱۷:۰۸	۱۳۸۳ خرداد ۸	36.27 N 51.57 E	ساری

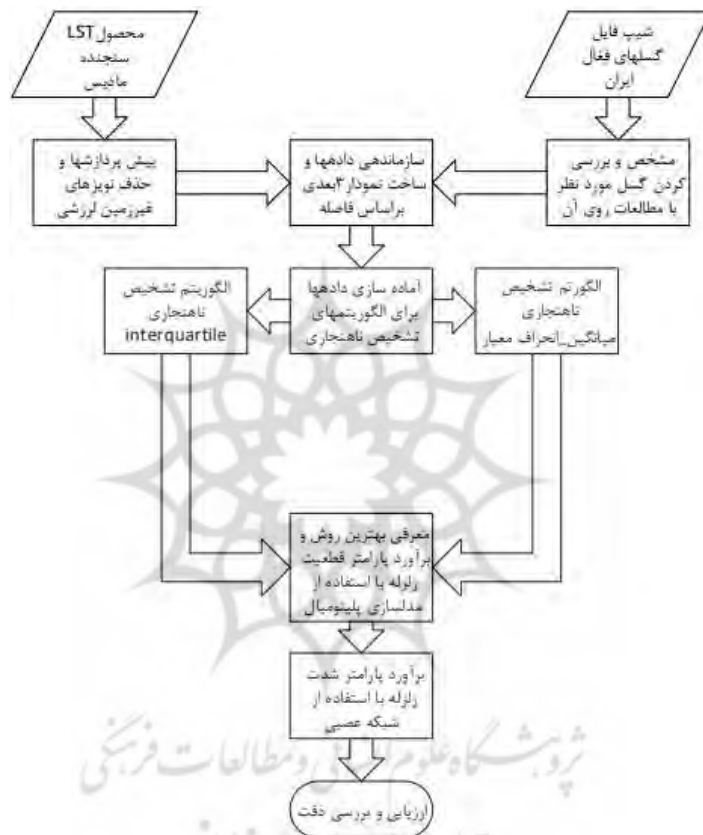
### داده‌های مورد استفاده

در این تحقیق از داده‌های سنجنده MODIS و لایه اطلاعاتی گسل‌های ایران استفاده شده است. محصول دمای سطح زمین (MODISMOD11A1) یکی از محصولات سنجنده MODIS است که در هر ۲۴ ساعت، دو تصویر با قدرت تفکیک مکانی یک کیلومتر از قسمت روشن و قسمت تاریک زمین ارائه می‌دهد. این محصول همچنین دارای لایه‌های اطلاعاتی نظیر درجه حرارت سطح زمین در روز، در شب، زمان مشاهده، زاویه دید زنیت، و چندین لایه اطلاعاتی دیگر

است. سیستم مختصات این محصول به صورت سینوسی است. در این محصول تصحیحات هندسی و رادیومتریکی اعمال و پیکسل‌هایی که در آن‌ها ابر باشد حذف شده است. از الگوریتم پنج‌گرا به منظور تولید دمای سطح زمین و با استفاده از باندهای ۳۱ و ۳۲ این سنجنده استفاده می‌شود. شیپ‌فایل گسل‌های فعال ایران شامل فایل برداری‌ای است که موقعیت و شکل گسل‌های فعال ایران در آن به صورت خطوط نشان داده شده است.

### روش پیشنهادی

فلوچارت مراحل کلی اجرای تحقیق در شکل ۱ ارائه شده است. با توجه به توضیحات داده‌شده در مورد داده‌های مورد استفاده در تحقیق، در ادامه به تشریح هر یک از مراحل فلوچارت پرداخته می‌شود.



شکل ۱. فلوچارت کلی مراحل اجرای تحقیق

### پیش‌پردازش‌ها

تصحیحات هندسی و رادیومتریکی از قبل بر روی محصول حرارتی سنجنده MODIS اعمال شده است. پیکسل‌های دارای ابر نیز حذف شده‌اند. بنابراین، در ارتباط با پیش‌پردازش داده‌ها، به حذف خطای تغییرات ناشی از عوامل غیرزمین لرزشی موجود در داده‌ها اقدام شده است.

داده‌های حرارتی مورد استفاده برای هر زلزله از سی روز قبل از زلزله تا ده روز بعد از وقوع آن انتخاب شده‌اند. تغییرات دمایی در طول این بازه چهل روزه علاوه بر تغییرات ناشی از زلزله به عوامل مختلفی مانند تغییرات فصلی، تغییرات رطوبتی، و تغییرات زاویه تابش خورشید نیز بستگی دارد. در این مرحله سعی شده تغییرات حرارتی که ناشی از عوامل غیرزمین لرزشی‌اند تا حد امکان حذف شوند. برای این کار، یک مدل خطی از تغییرات دمایی روی داده‌های حرارتی مناطق مورد نظر در مدت مشابه در سال قبل، که فعالیت لرزشی‌ای رخ نداده است، برآذش داده شود.

## شناسایی گسل و تشکیل نقشهٔ فاصله از گسل

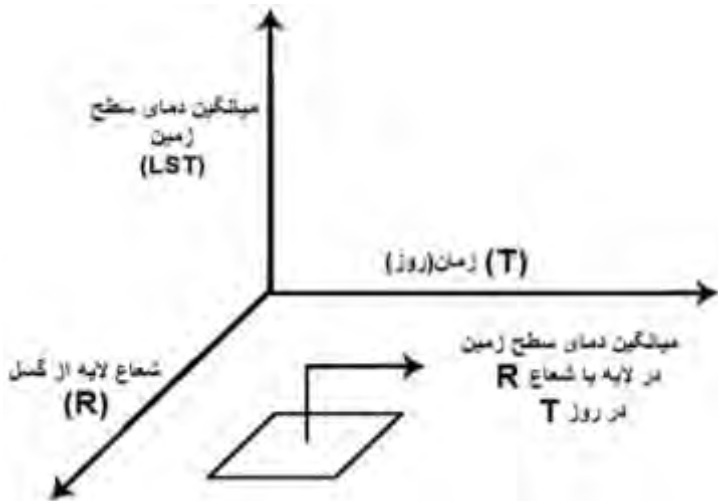
با توجه به محل زلزله، می‌توان گسل‌های نزدیک به محل را شناسایی و با بررسی آن‌ها فعال‌بودن گسل در ارتباط با زمین‌لرزه را مشخص کرد. حال نیاز به ایجاد تصویری از منطقه است که در آن پیکسل‌ها بر اساس فاصله از گسل مربوطه مقداردهی شوند. به این معنی که، به عنوان مثال، پیکسل‌هایی که در شعاع یک کیلومتر از گسل قرار دارند مقدار ۱، پیکسل‌هایی که در شعاع دو کیلومتر قرار دارند مقدار ۲، و به همین منوال برای سایر پیکسل‌ها تا شعاع ۲۰ کیلومتر این تصویر تشکیل می‌شود. این تصویر را تصویر فاصله از گسل نام‌گذاری می‌کنیم. فاصلهٔ لایهٔ اول نسبت به گسل مربوطه ۱ کیلومتر و فاصلهٔ لایهٔ آخر نسبت به آن گسل ۲۰ کیلومتر است. شکل ۲ نحوهٔ تشکیل نقشهٔ فاصله از گسل را نمایش می‌دهد که در آن پیکسل‌های سفید نمایانگر گسل منطقه‌اند.

3	3	2	2	2	2	2	3
3	2	2	1	1	1	2	3
2	2	1	1	0	1	2	3
2	1	1	0	0	1	2	3
2	1	0	0	1	1	2	3
2	1	1	1	1	2	2	3
2	2	2	2	2	2	3	3
3	3	3	3	3	3	3	4

شکل ۲. نحوهٔ تشکیل نقشهٔ فاصله از گسل

## سازمان‌دهی داده‌ها براساس نقشهٔ فاصله از گسل

میانگین دمای سطح زمین برای هر لایه با استفاده از داده‌های حرارتی پیش‌پردازش شده و تصویر فاصله از گسل محاسبه می‌شود. همان‌طور که بیان شد، شعاع داخل هر لایه برابر با ۱ کیلومتر است. شعاع هر لایه نسبت به گسل مربوطه از ۱ تا ۲۰ کیلومتر درنظر گرفته شده است. درواقع، هر لایه در فاصلهٔ مشخص از گسل شامل فقط پیکسل‌هایی است که در این شعاع از گسل قرار دارند و داده‌های لایه‌های قبلی (کوچک‌تر) در آن محسوب نشده‌اند. با در دست داشتن میانگین دمای سطح زمین برای هر لایه در هر روز می‌توان با استفاده از شکل ۳ داده‌ها را سازمان‌دهی و نمودار مورد نظر برای ورود به الگوریتم شناسایی ناهنجاری را تشکیل داد. با توجه به سه‌بعدی بودن این نمودار می‌توان آن را به صورت تصویر نیز برای درک بهتر نشان داد که به این معنا نیست که ماهیت سطر و ستون آن‌ها یکسان است، زیرا یکی از نوع زمان و دیگری از نوع فاصله است. به عنوان مثال، فرض کنید مقدار پیکسل ردیف ۳ و ستون ۴، با توجه به شکل ۳، برابر است با میانگین دمای سطح زمین برای لایه‌ای که پیکسل‌های آن در شعاع ۳ کیلومتری از گسل و در روز ۲۶ (روز قبل از وقوع زلزله) از بازهٔ زمانی مورد نظر قرار دارند. با تشکیل این نمودار می‌توان تغییرات دمایی را در اطراف گسل که تأثیر زیادی از عوامل زمین‌لرزشی می‌گیرد در محدودهٔ زمانی زلزله نشان داد.



شکل ۳. نحوه سازماندهی داده‌های و تشکیل نمودار

### روش‌های تشخیص بی‌هنجری

حال با در دست داشتن نمودارهای تشکیل شده در مرحله پیش می‌توان الگوریتم‌های تشخیص بی‌هنجری را روی آن‌ها اعمال کرد. نخست لازم است داده‌ها به فضای  $0 \times 1$  برده شوند. به دلیل تفاوت ماهیت سطرو ستون تصویر نیاز است که ابتدا داده‌ها در سطر به این فضا برده شوند و سپس داده‌های حاصل در ستون به فضای  $0 \times 1$  منتقل شود. الگوریتم‌های متنوعی برای تشخیص بی‌هنجری وجود دارند که باید بر مبنای نوع بی‌هنجری و نوع توزیع داده‌ها انتخاب شوند. در این تحقیق از روش‌های تشخیص بی‌هنجری میانگین- انحراف معیار و چارکی (Interquartile) برای شناسایی بی‌هنجری استفاده شده است.

### روش شناسایی بی‌هنجری میانگین- انحراف معیار

روش میانگین- انحراف معیار روشی ساده است و در بسیاری از تحقیقات برای تشخیص بی‌هنجری از آن استفاده می‌شود. این روش برای داده‌هایی که از توزیع نرمال پیروی می‌کنند، در عین سادگی از دقت بسیار بالای برخوردار است. در این روش با استفاده از دو پارامتر آماری میانگین و انحراف از معیار مقادیر محاسبه می‌شود که می‌توان از آن‌ها برای اعمال شرط‌هایی برای بررسی وجود یا فقدان بی‌هنجری استفاده کرد. با استفاده از رابطه ۱ می‌توان وجود ناهنجاری را تشخیص داد (سراجیان و آخوندزاده، ۲۰۱۱).

$$\text{رابطه ۱} \quad x > \mu + k \times \sigma$$

در رابطه ۱،  $\mu$  مقدار میانگین و  $\sigma$  مقدار انحراف از معیار در مشاهدات را نشان می‌دهد.  $k$  مقدار ثابتی است که می‌توان با تغییر آن شرایط تشخیص ناهنجاری را تغییر داد. با افزایش مقدار آن شرایط سخت و با کاهش آن شرایط آسان‌تر می‌شود. به منظور محاسبه مقدار  $k$  از معلوم درنظر گرفتن چند زلزله قبلی استفاده و برای زلزله مورد بررسی برآورد شده است. در این برآورد از نتایج تحقیقات قبلی در منطقه استفاده شده است. مقدار این پارامتر برای مناطق مورد نظر مقداری بین ۱,۳ تا ۱,۶ برآورد می‌شود که با توجه به نتایج تحقیقاتی مانند مقاله آخوندزاده و سراجیان در ۲۰۱۱ مقدار ۱,۳ درنظر گرفته شده است.

### روش شناسایی بی‌هنجری چارکی

روش تشخیص بی‌هنجری چارکی (Interquartile) روشی مشابه به روش پیشین است؛ با این تفاوت که به جای استفاده از پارامترهای آماری میانگین و انحراف از مقادیر میانه و بازه چارکی برای ساخت شرط بررسی

بی‌هنگاری استفاده می‌شود. با توجه به اینکه در این روش از مقدار میانه به جای میانگین استفاده می‌شود، به یکایک مقادیر موجود وابسته نیست. از این روش نیز مشابه روش قبل بیشتر برای داده‌هایی که از توزیع نرمال پیروی می‌کنند استفاده می‌شود؛ با این تفاوت که این روش برای داده‌هایی که از توزیع نرمال پیروی نمی‌کنند از دقت بیشتری در مقایسه با روش اول برخوردار است. در رابطه ۲ نحوه ساخت شرط بررسی بی‌هنگاری ارائه شده است (آخوندزاده، ۲۰۱۴).

$$x > M + k \times IQR \quad \text{رابطه ۲}$$

در رابطه ۲ نیز  $M$  مقدار میانه و  $IQR$  مقدار بازه چارکی را نشان می‌دهد.  $K$  نیز مقدار ثابتی است که همانند روش قبل برآورد می‌شود. با توجه به نتایج تحقیقاتی مانند مقاله آخوندزاده در سال ۲۰۱۴ مقدار ۱,۶ درنظر گرفته شده است.

### مدل‌سازی و برآورد پارامترهای زلزله

با توجه به اینکه شبکه عصبی مصنوعی در تحقیقات بسیاری استفاده شده است (ساهو و همکاران، ۲۰۱۶)، مفاهیم پایه آن در موارد زیادی توضیح داده شده است. به همین دلیل، در این تحقیق فقط به صورت مختصر درباره بحث‌های تئوری شبکه عصبی مصنوعی توضیح داده و بیشتر به جزئیات و نتایج آن درباره این تحقیق پرداخته می‌شود. شبکه عصبی مصنوعی یک مدل ریاضی است که با استفاده از یک مجموعه داده آموزشی ساخته می‌شود. از این شبکه می‌توان بعداً برای تبدیل هر داده‌ای به خروجی استفاده کرد (ندیک و همکاران، ۲۰۱۴). بسته به اینکه شبکه به چه صورت آموزش می‌یابد، شبکه‌های عصبی به دو دسته شبکه‌های پیش‌انتشار و پس‌انتشار تقسیم‌بندی می‌شوند. در این تحقیق، از شبکه عصبی پرسپترون چندلایه- یکی از پُرکاربردترین شبکه‌های پس‌انتشار- استفاده شده است. این شبکه نیز مانند شبکه‌های دیگر شامل سه لایه ورودی، پنهان، و خروجی است که با بهینه‌سازی مقادیر وزن و بایاس شبکه نهایی شکل می‌گیرد.

در این تحقیق، با توجه به اینکه زلزله در زمان‌های مختلف سال رخ داده است، از اختلاف دمای هر پیکسل در لایه‌های مختلف از گسل با پیکسل بی‌هنگاری تشخیص‌داده شده در هر زلزله به عنوان داده آموزشی استفاده شده است تا تأثیرات اختلافات دمایی در شبکه به حداقل برسد. همچنین، ذکر این نکته لازم است که همه داده‌های حرارتی استفاده شده مربوط به سی روز قبل از وقوع زلزله است و از داده‌های حرارتی بعد از زلزله در امر مدل‌سازی استفاده نشده است.

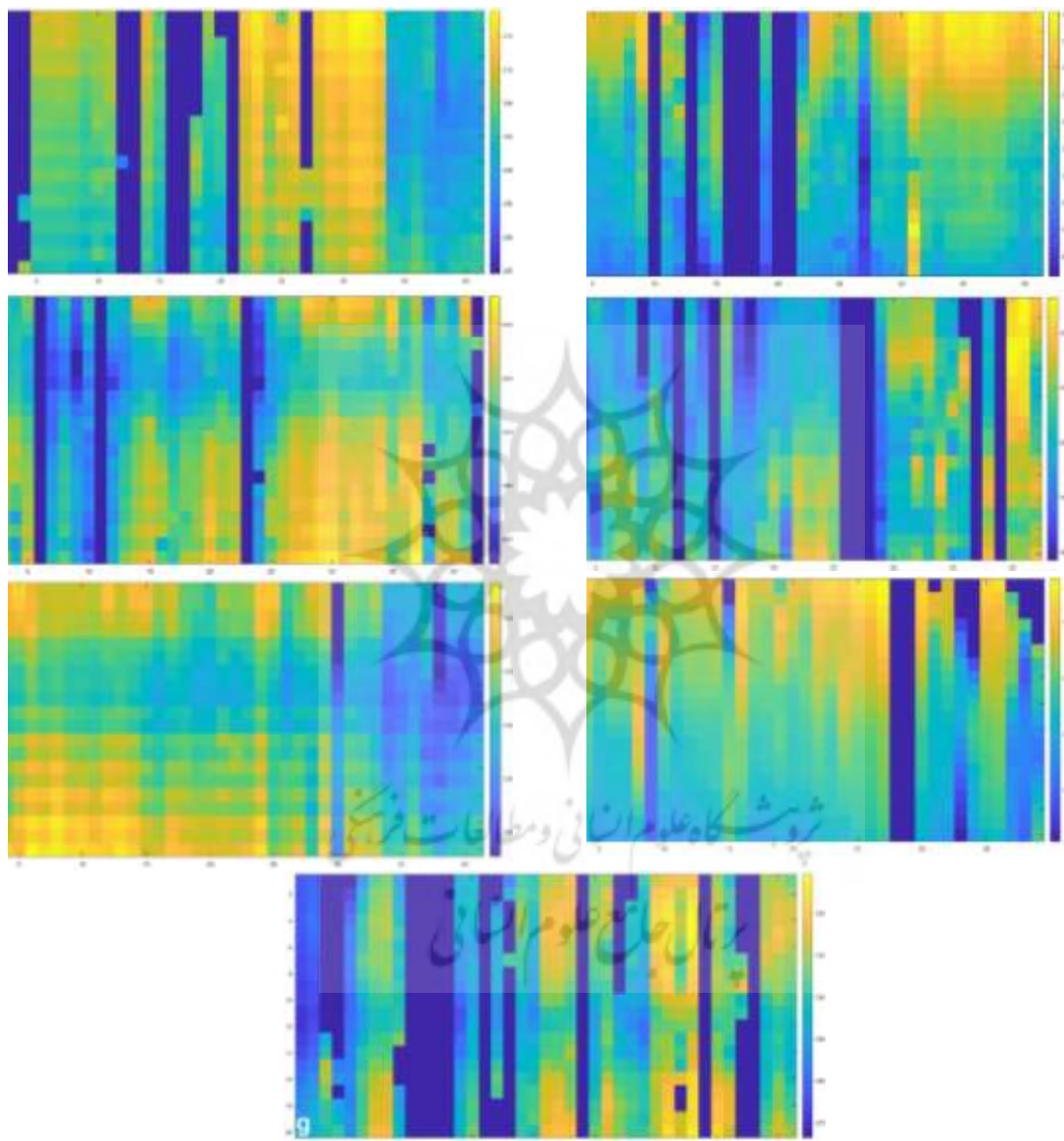
### یافته‌های پژوهش

#### تصویر سه‌بعدی زمان- مکان- دما

با توجه به توضیحات ارائه شده، نخست داده‌های حرارتی بعد از جمع‌آوری وارد مرحله پیش‌پردازش شده و نویزهای حرارتی که مربوط به تغییرات فصلی بوده با استفاده از مدل‌سازی خطی آنها و با توجه به داده‌های سال گذشته از داده‌های اصلی حذف شده است. همچنین، با مطالعات انجام شده روی گسل‌های موجود در هر منطقه، گسل‌های فعالی که بیشترین احتمال را در ارتباط با فعالیت زمین‌لرزشی داشتن شناسایی شده‌اند. با در اختیار داشتن اطلاعات به دست آمده، تصویر فاصله از هر گسل برای هر زلزله ساخته شده است. با در دست داشتن داده‌های مورد نیاز برای هر زلزله، می‌توان آنها را به گونه‌ای که در بخش قبل توضیح داده شد سازمان‌دهی و آنها را به عنوان ورودی وارد الگوریتم‌های شناسایی بی‌هنگاری کرد. شکل ۴ تصاویر ساخته شده برای هر یک از هفت زلزله را نشان می‌دهد. در این تصاویر، دمای سطح زمین در شعاع‌های مختلف ۱ الی ۲۰ کیلومتری از گسل در هر روز از بازه زمانی مورد نظر قابل مشاهده است.

ذکر این نکته لازم است که بازه زمانی از سی روز قبل از روز وقوع زلزله آغاز می‌شود. بنابراین، روز زلزله در این تصاویر مربوط به پیکسل‌های ستون ۱۳۱ است. همان‌گونه که در بخش قبل توضیح داده شد، در این تصاویر شماره ردیف معادل فاصله لایه مورد نظر از گسل است. بنابراین، پیکسل‌های ردیف اول یعنی پیکسل‌های بالای تصویر مربوط به نزدیک‌ترین لایه به گسل‌اند و هر چه به سمت پایین تصویر حرکت کنیم فاصله لایه از گسل بیشتر می‌شود.

همان‌گونه که مشاهده می‌شود، دمای سطح زمین در اغلب زلزله‌ها در اطراف گسل دارای مقدار بیشتری نسبت به مناطق دورتر از گسل‌اند. همچنین، حتی به صورت بصری نیز می‌توان بهوضوح مشاهده کرد که دمای سطح زمین در روز زلزله در نزدیکترین فاصله به گسل مقدار بسیار بالایی دارد و انتظار می‌رود در روش‌های شناسایی بی‌هنجری به عنوان یکی از آن‌ها شناخته شود. در هر تصویر، هر ستون معرف یک روز، هر ردیف فاصله بر حسب کیلومتر، و درجهٔ خاکستری هر پیکسل دما بر حسب کلوین است.



شکل ۴. تصاویر ایجادشده با سازماندهی داده‌ها به عنوان ورودی الگوریتم‌های شناسایی بی‌هنجری برای زلزله‌های به ترتیب (a) ازگله، (b) گوهران، (c) سراوان، (d) شنبه، (e) فهرج، (f) بروجرد، (g) ساری

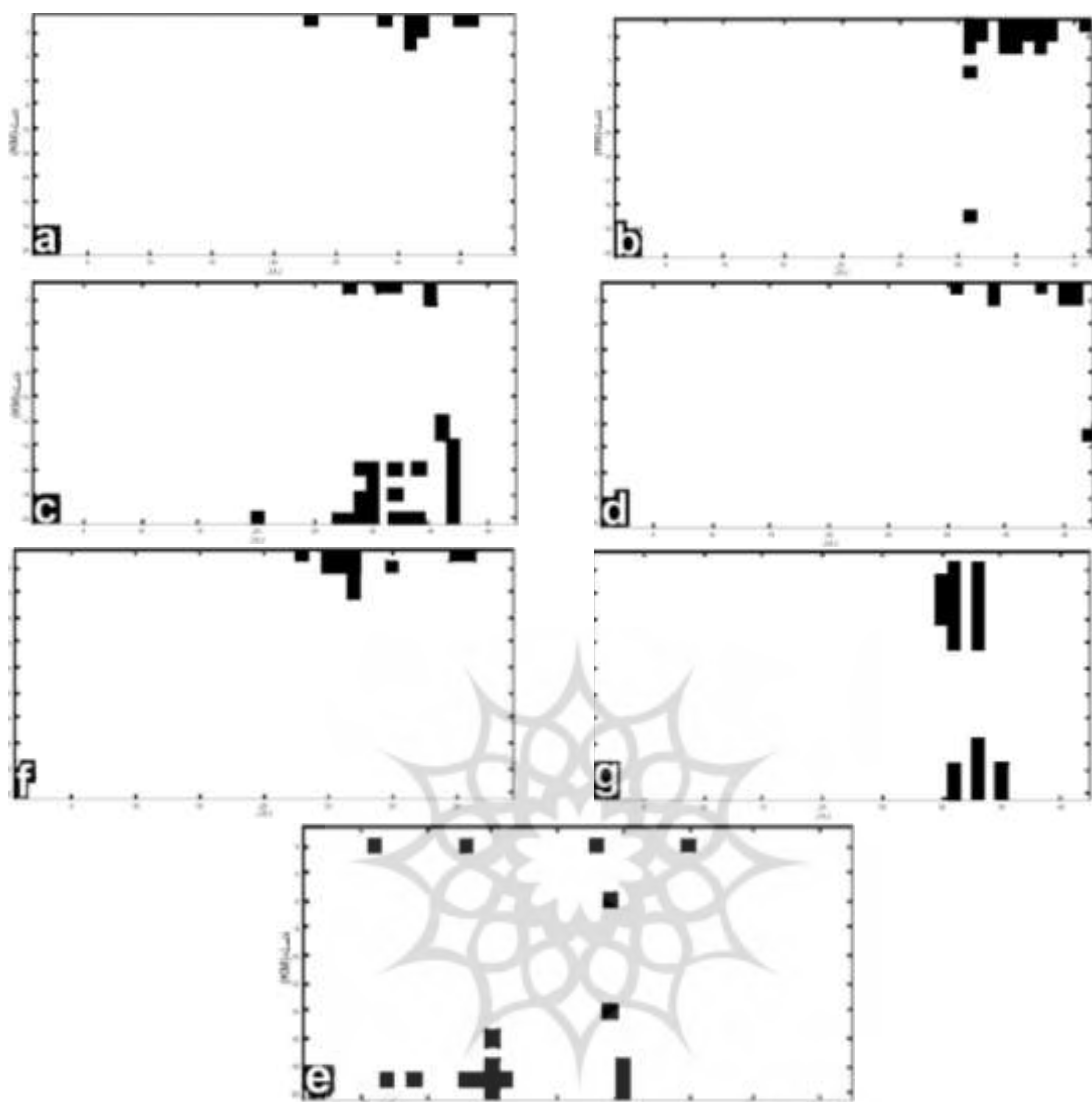
## نتایج روش‌های تشخیص بی‌هنجاری

الگوریتم شناسایی بی‌هنجاری میانگین - انحراف معیار در همه زلزله‌ها یک بی‌هنجاری در فاصله نزدیک به گسل در روز زلزله تشخیص داده است. ولی این الگوریتم بی‌هنجاری‌های متعدد دیگری را نیز در روزهای غیر از زلزله تشخیص داده است که باعث پایین‌آمدن دقت مدل سازی می‌شود. به همین دلیل از نتایج روش چارکی در ادامه کار استفاده شده است.

**شکل ۵ نتایج الگوریتم میانگین - انحراف معیار** را نشان می‌دهد. در زلزله‌های ازکله، شنبه، و بروجرد پیکسل‌هایی هم قبل و هم بعد از زلزله به عنوان بی‌هنجاری شناسایی شده‌اند. در زلزله ازکله هشت روز قبل و شش روز بعد از زلزله، در زلزله شنبه پنج روز قبل و هشت روز بعد از زلزله و در زلزله بروجرد نیز پنج روز قبل و هشت روز بعد از زلزله پیکسل‌هایی هستند که به عنوان بی‌هنجاری شناخته شده‌اند. در زلزله شنبه بی‌هنجاری شناخته شده بعد از زلزله شدت بیشتری نسبت به بی‌هنجاری تشخیص داده شده برای روز زلزله است. در مورد زلزله گوهران تعدادی پیکسل مربوط به چهار تا هفت روز بعد از زلزله به عنوان بی‌هنجاری شناخته شده است. در زلزله سراوان چهار و شش روز قبل از زلزله و در زلزله فهرج شش، هفده، و بیست‌ویک روز قبل از زلزله به عنوان بی‌هنجاری شناخته شده که زلزله فهرج را در پایین‌ترین سطح دقت این الگوریتم قرار می‌دهد. در زلزله ساری بی‌هنجاری تشخیص داده شده فقط در روز زلزله تشخیص داده شده است، ولی برخلاف بقیه بی‌هنجاری‌های تشخیص داده شده این بی‌هنجاری مربوط به پیکسل نزدیک‌ترین فاصله به گسل نیست و در شعاع ۴ کیلومتری از گسل این بی‌هنجاری بیشینه شدت خود را نشان می‌دهد.

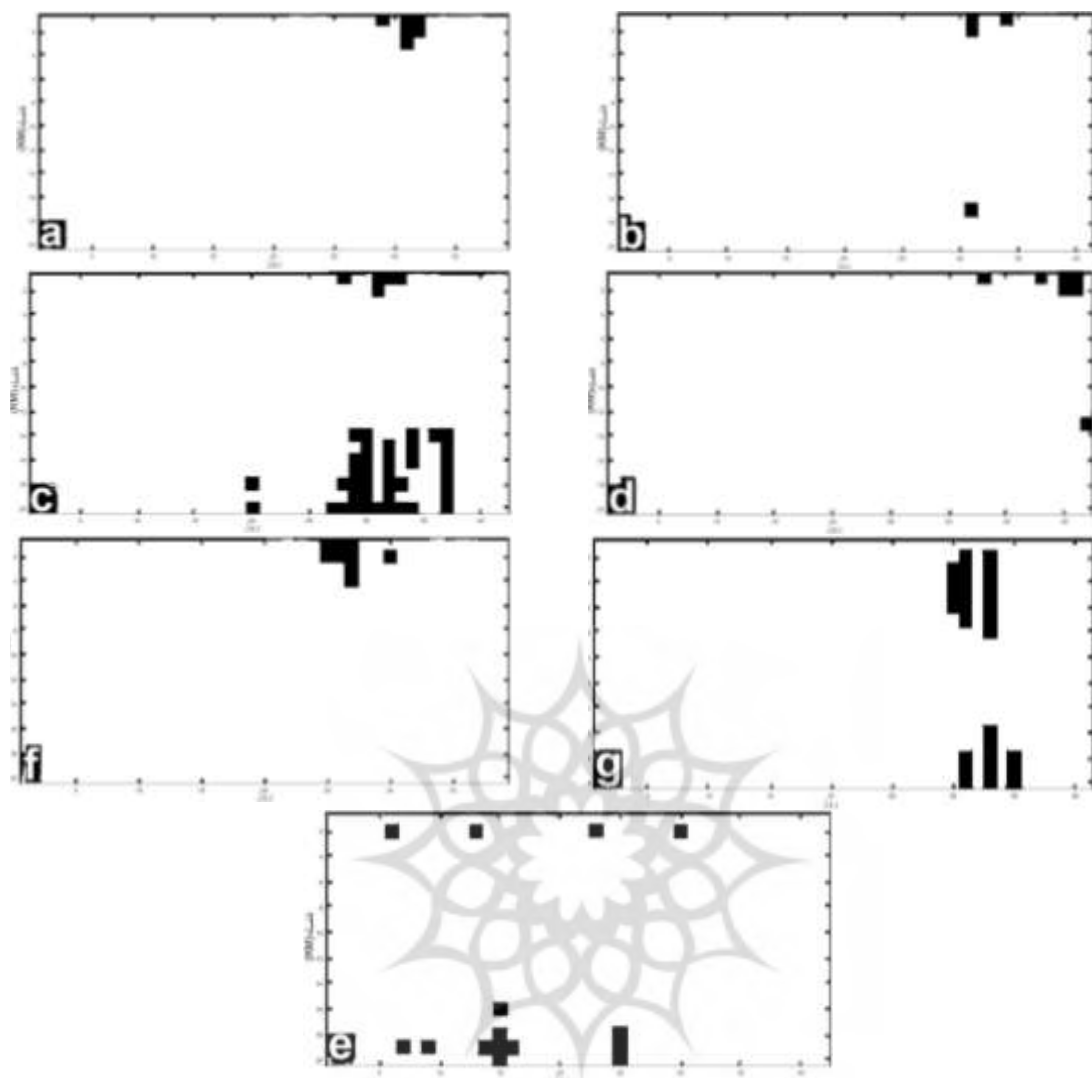
ذکر این نکته لازم است که به طور قطع نمی‌توان درباره بی‌هنجاری‌های تشخیص داده شده بعد از شعاع ۱۵ کیلومتر در ارتباط با زلزله صحبت کرد. ولی با توجه به اینکه بی‌هنجاری‌های شناسایی شده در فواصل نزدیک به گسل از اطمینان بالاتری و همچنین دقت بهتری در امر مدل سازی برخوردار است، از کاربرد بی‌هنجاری‌های بعد از شعاع ۱۵ کیلومتر در مدل سازی صرف‌نظر شده است. استفاده نکردن از پیکسل‌هایی که در فاصله زیاد از گسل قرار دارند باعث می‌شود دقت الگوریتم‌های تشخیص بی‌هنجاری پایین آید. به همین دلیل، با وجودی که از این داده‌ها به عنوان ورودی در الگوریتم‌های تشخیص بی‌هنجاری استفاده می‌شود، وزن آن‌ها نسبت به بقیه داده‌ها کمتر است و از پیکسل‌های بی‌هنجاری تشخیص داده شده در این ناحیه‌ها صرف‌نظر می‌شود.

**شکل ۶ نتایج الگوریتم چارکی** را نشان می‌دهد. الگوریتم شناسایی بی‌هنجاری چارکی نیز همانند روش قبل در همه زلزله‌ها یک بی‌هنجاری در فاصله نزدیک به گسل در روز زلزله تشخیص داده است. ولی این الگوریتم در مقایسه با روش قبل بی‌هنجاری‌های کمتر دیگری را در روزهای غیر از زلزله نیز تشخیص داده است که دقت این الگوریتم را نسبت به روش میانگین - انحراف معیار بهتر می‌کند. نتایج این الگوریتم تشخیص بی‌هنجاری نشان می‌دهد در بیشتر زلزله‌ها بی‌هنجاری تشخیص داده شده (به استثنای زلزله‌های شنبه و فهرج) فقط مربوط به زلزله است. در زلزله شنبه یک بی‌هنجاری در هشت روز بعد از روز زلزله با شدت نسبتاً بالایی تشخیص داده شده و در زلزله فهرج که مانند الگوریتم میانگین - انحراف معیار شش، هفده، و بیست‌ویک روز قبل از زلزله به عنوان بی‌هنجاری شناخته شده است در بقیه زلزله‌ها بی‌هنجاری تشخیص داده شده با دقت خوبی صحیح بوده است. نتایج در مورد زلزله ساری مشابه الگوریتم میانگین - انحراف معیار است و بی‌هنجاری‌های تشخیص داده شده مربوط به پیکسل نزدیک‌ترین فاصله به گسل نیست و در شعاع ۴ کیلومتری از گسل بیشینه شدت خود را نشان می‌دهد.



شکل ۵. نتایج الگوریتم شناسایی بی‌هنگاری میانگین- انحراف معیار برای زلزله‌های به ترتیب (a) ازگله، (b) گوهران، (c) سراوان، (d) شنبه، (e) فهرج، (f) بروجرد، (g) ساری

پرستال جامع علوم انسانی



شکل ۶. نتایج الگوریتم شناسایی بی‌هنجری چارکی برای زلزله‌های به ترتیب (a) ازگله، (b) گوهران، (c) سراوان، (d) شنبه، (e) فهرج، (f) بروجرد، (g) ساری

### پارامتر شدت زلزله

در یادآور شدت زلزله برای هر زلزله مدل‌سازی و محاسبه شده است. شدت زلزله بر حسب ریشتر برآورد شده و نمایانگر شدت زلزله‌ای است که می‌تواند بی‌هنجری تشخیص داده شده در نزدیکی گسل را باعث شود. داده‌های ورودی و آموزشی شبکه عصبی برای مدل‌سازی پارامتر شدت زلزله اختلاف میانگین دمای سطح در شاعع‌های مختلف اطراف گسل در هر روز نسبت به میانگین دمای سطح مربوط به ناهنجاری حرارتی تشخیص داده شده برای هر زلزله‌اند. این پارامترها به گونه‌ای تعریف شده‌اند که در شاعع‌های مختلف و روزهای متفاوت تأثیر خود را بهخوبی در آموزش شبکه داشته باشند. میانگین دمایی در روز زلزله در هر شاعع پارامتر مجازی را تشکیل می‌دهد تا اگر برای مثال میانگین دما در روز زلزله هم در قسمت بی‌هنجری و هم شاعع‌های دیگر بالا بود شدت مدل‌سازی پایین برآورد شود، زیرا بالابودن میانگین دمای سطح در آن روز دلیلی به غیر از بالابودن شدت زلزله داشته و ممکن است فقط دما در این روز از سال بالا بوده است. دقت هر شدت بر اساس مقدار واقعی آن، که مقدار مشخصی دارد و قبلًا ثبت شده، محاسبه شده است.

**جدول ۲. زلزله‌های مورد بررسی و پارامترهای مرتبط به آن‌ها**

می‌دهد.

نام زلزله	شدت برآورده شده زلزله (MS)	دقت برآورده شده براساس مقدار واقعی
ازگله	۷,۳۰۱	۰,۰۰۱
گوهان	۶,۳۰۲	۰,۱۰۲
سرavan	۷,۷۱۹	۰,۰۸۱
شببه	۶,۲۹	۰,۰۱
فهرج	۶,۶۵۳	۰,۱۵۳
بروجرد	۶,۲۸	۰,۰۲
ساری	۶,۳۴۵	۰,۱۴۵

همان‌گونه که توضیح داده شد، به دلیل دقت بالاتر روش تشخیص بی‌هنجاری چارکی در امر مدل‌سازی، از نتایج و بی‌هنجاری‌های تشخیص‌داده شده با آن برای آموزش شبکه عصبی و ساخت مدل مورد نظر استفاده شده است. همان‌گونه که مشاهده می‌شود، بهترین دقت مربوط به زلزله ازگله و پایین‌ترین آن مربوط به زلزله فهرج است. با توجه به محدودیت‌های تعداد زلزله‌ها یعنی هفت مورد زلزله مورد بررسی، مدل‌سازی شبکه عصبی با مشکلاتی همراه است. ولی متقابلاً تعداد داده‌ها و پارامترهای ورودی شبکه عصبی برای هر زلزله کافی است و می‌توان با پارامتریندی مناسب صورت گرفته در ساخت شبکه عصبی مورد نظر به منظور مدل‌سازی پارامتر شدت زلزله به دقت خوبی دست یافت.

### مقایسه با نتایج سایر تحقیقات

یکی از تحقیقاتی که در سال ۲۰۲۰ سه زلزله کوهان، سراوان، و بروجرد را بررسی کرد مربوط به مقاله نکویی می‌شود. نتایج این تحقیق نشان می‌دهد بی‌هنجاری‌های حرارتی در زلزله سراوان پنج روز قبل از زلزله قابل مشاهده بوده است. این در حالی است که در مورد زلزله گوهان این عدد به ۱۳ و در رابطه با زلزله بروجرد به شش روز می‌رسد. این بی‌هنجاری‌های حرارتی رینجی در حدود ۵ تا ۷ درجه کلوین را نشان می‌دهند. با وجود اینکه بی‌هنجاری‌های تشخیص‌داده شده در تحقیق ذکر شده شدت بالاتری نسبت به بی‌هنجاری‌های تشخیص‌داده شده در این تحقیق دارد، بی‌هنجاری‌های تشخیص‌داده شده در روزهای متفاوتی پیش از زلزله مشاهده شده است که از الگوی خاصی پیروی نمی‌کنند. به همین دلیل، نمی‌توان از زمان زلزله اطلاعاتی به دست آورد. نکته دیگری که باید در مقایسه این تحقیقات درنظر گرفته شود این است که نکویی در تحقیق خود بی‌هنجاری‌های حرارتی را در اطراف مرکز زلزله بررسی کرده است؛ این در حالی است که در این تحقیق بی‌هنجاری‌های حرارتی در اطراف گسل بررسی شده است که می‌تواند دلیل پایین‌ترین شدت بی‌هنجاری‌های تشخیص‌داده شده باشد.

### بحث و نتیجه‌گیری

همان‌گونه که در تحقیقات پیشین و این تحقیق نشان داده شد، تغییر حرارت سطح زمین یکی از قوی‌ترین پیش‌نشان‌گرها در مورد پدیده زلزله با توجه به حجم پایین داده‌ها و همچنین ساده‌بودن بسیاری از الگوریتم‌های مورد استفاده برای تحلیل آن است. در این تحقیق به جای استفاده از نمودار دو بعدی زمان- دما- که در اغلب تحقیقات از آن استفاده می‌شود- داده‌ها در نمودار سه بعدی زمان- دما- فاصله به صورتی سازمان‌دهی شده است که بر اساس آن نمودار دمای سطح زمین در یک روز از بازه زمانی مورد نظر در شعاع مشخص مقداردهی می‌شود. نمودار سه بعدی بی‌هنجاری‌های حرارتی را- نسبت به نمودار دو بعدی- بهتر نشان می‌دهد؛ حتی در بسیاری از موارد به صورت بصری نیز این ناهنجاری‌ها قابل روئیت‌اند. ولی نکته مهم‌تر این است که در نمودار دو بعدی تعداد زیادی بی‌هنجاری حرارتی شناخته شده مربوط به

زلزله نیستند. این در حالی است که در روش پیشنهادی، تشخیص این موارد به عنوان بی‌هنجری‌ها توسط الگوریتم‌ها بهشت کاهش یافته و دقت را به صورت قابل توجهی افزایش می‌دهد. همچنین، استفاده از نمودار دو بعدی ملزم به آن است که مرکز زلزله مشخص باشد. بنابراین، بررسی زلزله‌ها فقط بعد از رخدادن زلزله انجام شدنی است. این در حالی است که نمودار سه بعدی - که مبنای فاصله آن گسل مربوطه است - می‌تواند روی هر گسلی که پتانسیل بالایی برای زلزله دارد - اعمال شود. بنابراین، استفاده از این روش می‌تواند به درک بهتر این پدیده و حتی پیش‌بینی بهتر آن کمک فراوانی کند.

نکته‌ای که درباره استفاده از گسل مربوطه و تصویر فاصله از گسل باید به آن توجه کرد این است که گسل‌های فعل موجود، که بررسی می‌شوند، خود منطقه بزرگی را شامل می‌شوند و بزرگی آن‌ها بعضاً به ۱۰۰ کیلومتر نیز می‌رسد. این موضوع باعث می‌شود که در تصویر فاصله از گسل پیکسل‌هایی که در یک ساعت قرار می‌گیرند بسته به طول گسل فاصله بسیار زیادی از هم داشته باشند و نوع پوششی که پیکسل آن‌ها را شامل می‌شود متفاوت باشد. بنابراین، در بعضی موارد، در شاعع‌های دور از گسل پیکسل‌ها ممکن است از پوشش‌های متفاوتی تشکیل شده باشند که این پوشش‌ها بهشت در درجه حرارت آن‌ها تأثیر می‌گذارد. با وجود اینکه این تفاوت درجه حرارت جزو ناهنجاری حرارتی مربوط به زلزله شناسایی نمی‌شود، روی خود الگوریتم‌های تشخیص بی‌هنجری تأثیر می‌گذارد و ممکن است باعث پایین‌آمدن دقت مورد نظر شود.

در این تحقیق از دو روش تشخیص بی‌هنجری میانگین - انحراف‌معیار و چارکی استفاده شد. نتایج نشان می‌دهد هرچند هر دو روش تشخیص بی‌هنجری حرارتی بی‌هنجری حرارتی مربوط به هر زلزله را در روز زلزله در شاعع نزدیک به گسل شناسایی کرده‌اند، روش میانگین - انحراف‌معیار نسبت به روش چارکی بی‌هنجری‌های حرارتی در روزهایی به غیر از روز زلزله بیشتری را شناسایی کرده است. با توجه به اینکه این ناهنجاری‌ها در هر زلزله متفاوت است، نتایج روش تشخیص بی‌هنجری چارکی نسبت به روش میانگین - انحراف‌معیار به عنوان ورودی مدل‌سازی بهتر بود و در این تحقیق از نتایج این روش استفاده شد.

در این پژوهش پارامتر شدت زلزله مدل‌سازی و برآورد شد. نتایج مدل‌سازی نیز نشان می‌دهد پارامتر شدت زلزله، که با استفاده از شبکه عصبی مصنوعی انجام شد، با دقت کلی ۰/۷۳ بروآورد شده است. با وجود اینکه تعداد زلزله‌های مورد بررسی برای آموزش شبکه عصبی نسبتاً کم بوده است، داشتن تعداد داده فراوان در مورد هر زلزله دقت کافی را فراهم کرده است. ذکر این نکته لازم است که بخش مهمی از فرایند مدل‌سازی وابسته به نتایج الگوریتم‌های تشخیص بی‌هنجری و دقت خروجی آن‌هاست، زیرا در مدل‌سازی‌های صورت گرفته برای آموزش شبکه عصبی به صورت مستقیم یا غیرمستقیم از شدت ناهنجاری‌های شناسایی شده استفاده شده است.

در پایان، ذکر این نکته لازم است که پیش‌نstanگر تغییرات دمای سطح و ناهنجاری‌های حرارتی به تنها ی نمی‌تواند برای بررسی کامل پارامترهای زلزله کافی باشد و دقت لازم را برای تحلیل زلزله داشته باشد. ولی با توجه به حجم پایین داده‌های حرارتی و سادگی کار با آن‌ها، توصیه می‌شود از آن‌ها برای بررسی‌های مقدماتی زمین‌لرزه استفاده شود و در صورت تأیید نسبی آن برای تحلیل‌های بیشتر از روش‌ها و پیش‌نstanگرهای دیگر - که نیازمند اعمال الگوریتم‌ها و پردازش‌های سنگین و پیچیده است - استفاده شود. همچنین، می‌توان از ترکیب این پیش‌نstanگر با پیش‌نstanگرهای ساده دیگر برای رسیدن به دقت قابل قبول و معتبر استفاده کرد.

**منابع**

- Akhoondzadeh, M. (2012). Anomalous TEC variations associated with the powerful Tohoku earthquake of 11 March 2011, *Natural Hazards and Earth System Sciences*, vol. 12, no. 5, p. 1453.
- Akhoondzadeh, M. (2014). Thermal and TEC anomalies detection using an intelligent hybrid system around the time of the Saravan, Iran,(Mw= 7.7) earthquake of 16 April 2013, *Advances in Space Research*, vol. 53, no. 4, pp. 647-655.
- Asiltürk, I. and Çunkaş, M. (2011). Modeling and prediction of surface roughness in turning operations using artificial neural network and multiple regression method, *Expert systems with applications*, vol. 38, no. 5, pp. 5826-5832.
- Belayneh, A.; Adamowski, J.; Khalil, B. and Ozga-Zielinski, B. (2014). Long-term SPI drought forecasting in the Awash River Basin in Ethiopia using wavelet neural network and wavelet support vector regression models, *Journal of Hydrology*, vol. 508, pp. 418-429.
- Console, R.; Pantosti, D. and D'Addazio, G. (2002). Probabilistic approach to earthquake prediction, *Annals of Geophysics*, vol. 45, no. 6.
- Freund, F. et al. (2005). Enhanced mid-infrared emission from igneous rocks under stress, 2005, in *Geophys Res Abstr*, vol. 7, p. 09568.
- Geller, R. J.; Jackson, D. D.; Kagan, Y. Y. and Mulargia, F. (1997). Earthquakes cannot be predicted, *Science*, vol. 275, no. 5306, pp. 1616-1616.
- Goh, A. T. (1995). Back-propagation neural networks for modeling complex systems, *Artificial Intelligence in Engineering*, vol. 9, no. 3, pp. 143-151.
- Marano, K. D.; D. J. Wald, and Allen, T. I. (2010). Global earthquake casualties due to secondary effects: a quantitative analysis for improving rapid loss analyses, *Natural hazards*, vol. 5, no. 2, pp. 319-328.
- Miikkulainen, R. (2010). Topology of a neural network, *Encyclopedia of Machine Learning*, pp. 988-989.
- Nedic, V.; Despotovic, D.; Cvetanovic, S.; Despotovic, M. and Babic, S. (2014). Comparison of classical statistical methods and artificial neural network in traffic noise prediction, *Environmental Impact Assessment Review*, no.49, pp. 24-30.
- Nekooe, M. and Shah-Hosseini, R. (2020). Thermal anomaly detection using NARX neural network method to estimate the earthquake occurrence time. *Earth Observation and Geomatics Engineering*, 4(2): 98-108.
- Ouzounov, D. and Freund, F. (2004). Mid-infrared emission prior to strong earthquakes analyzed by remote sensing data, *Advances in space research*, vol. 33, no. 3, pp. 268-273.
- Park, D. C.; El-Sharkawi, M.; Marks, R.; Atlas, L. and Damborg, M. (1991). Electric load forecasting using an artificial neural network, *IEEE transactions on Power Systems*, vol. 6, no. 2, pp. 442-449.
- Qiang, Z.-j.; X.-d. Xu and Dian, C.-g. (1997). Case 27 thermal infrared anomaly precursor of impending earthquakes, *Pure and Applied Geophysics*, vol. 149, no. 1, pp. 159-171.
- Qiang, Z. et al. (1999). Atellitic thermal infrared brightness temperature anomaly image-short-term and impending earthquake precursors, *Science in China series D: Earth Sciences*, vol. 42, no. 3, pp. 313-324.

- Sahoo, S.; Dhar, A. and Kar, A. (2016). Environmental vulnerability assessment using Grey Analytic Hierarchy Process based model, *Environmental Impact Assessment Review*, no. 56, pp. 145-154.
- Saradjian, M. R. and Akhoondzadeh, M. (2001). Thermal anomalies detection before strong earthquakes ( $M > 6.0$ ) using interquartile, wavelet and Kalman filter methods, *Natural Hazards and Earth System Sciences*, vol. 11, no. 4, p. 1099.
- Saraf, A. K.; Rawat, V.; Choudhury, S.; Dasgupta, S. and Das, J. (2009). Advances in understanding of the mechanism for generation of earthquake thermal precursors detected by satellites, *International Journal of Applied Earth Observation and Geoinformation*, vol. 11, no. 6, pp. 373-379.
- Saraf, A. K. et al. (2008). Satellite detection of earthquake thermal infrared precursors in Iran, *Natural Hazards*, vol. 47, no. 1, pp. 119-135.
- Tramutoli, V. (1998). Robust AVHRR Techniques (RAT) for environmental monitoring: theory and applications, in *Earth surface remote sensing II*, vol. 3496, pp. 101-113: International Society for Optics and Photonics.
- Wyss, M. (1991). Evaluation of proposed earthquake precursors, *Eos, Transactions American Geophysical Union*, vol. 72, no. 38, pp. 411-411.

